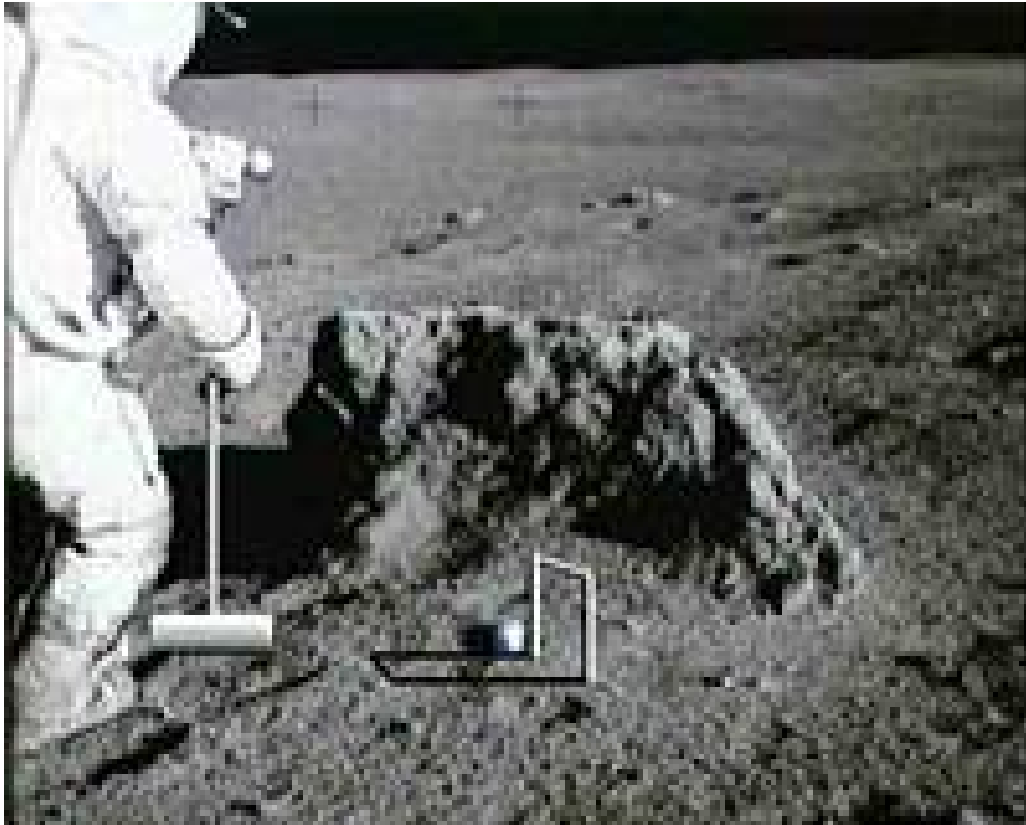


Identificação de um Sistema Método Frequencial

Prof. Fernando Passold
E-mail: fpassold@upf.br

2 de junho de 2011



Universidade de Passo Fundo
Curso de Engenharia Elétrica
Disciplina de Lab. de Controle Automático II

Atenção: Este material ainda está sendo editado (esta não é a versão final).
Falta revisar este material!
Aceita-se observações quanto a correções que se façam necessárias!

Sumário

1	Respostas ao Degrau	2
1.1	Sistema de 1a-ordem com atraso de transporte	2
1.2	Sistema de 2a-ordem	3
1.3	Sistema de 3a-ordem (somente pólos)	3
1.4	Sistema de 3a-ordem com 1 zero	7
1.4.1	Caso a) Zero em $s = -1/2$	7
1.4.2	Caso b) Zero em $s = -3$	8

1.4.3	Caso c) Zero em $s = -10$	8
1.5	Sistema de 5a-ordem	9
2	Um exemplo real	10
2.1	Identificando como de 2a-ordem, subamortecido	11
2.2	Outra tentativa de identificação	14
2.3	Identificando como de 3a-ordem, com 1 zero	17
A	Transformada Inversa de Laplace, no MATLAB	20
B	Relações trigonométricas	21
C	Relações de Euler	22
D	Filtro Passa Baixa Digital	22

1 Respostas ao Degrau

1.1 Sistema de 1a-ordem com atraso de transporte

Seja um sistema do tipo:

$$G(s) = \frac{K \cdot e^{-t_p s}}{(s + p_1)} \quad (1)$$

A resposta (em malha aberta) para um degrau de amplitude A injetado na entrada deste sistema pode ser calculado como:

Degrau de entrada:

$$r(t) = u(t) = \begin{cases} 0, & t < 0 \\ A, & t > 0 \end{cases}$$

Sua transformada de Laplace resulta em:

$$\mathcal{L}\{u(t)\} = A \cdot \frac{1}{s}$$

Agrupando os termos temos:

$$Y(s) = R(s) \cdot G(s) \quad (2)$$

$$Y(s) = \frac{K \cdot A \cdot e^{-t_p s}}{s(s + p_1)} \quad (3)$$

Realizando a transformada inversa de (3) obtemos:

$$y(t) = \mathcal{L}^{-1}\{Y(s)\} = (\mathcal{L}^{-1}\{W(s)\}) \cdot u(t - t_p)$$

onde:

$$W(s) = \frac{K A}{s(s + p_1)} = \frac{k_1}{s} + \frac{k_2}{s + p_1}$$

$$K A = k_1(s + p_1) + k_2 s$$

$$K A = s(k_1 + k_2) + k_1 p_1$$

$$\begin{aligned} K A &= k_1 p_1 & 0 &= k_1 + k_2 \\ k_1 &= \frac{K A}{p_1} & k_2 &= -\frac{K A}{p_1} \end{aligned}$$

Lembrando da Tabela de Transformadas de Laplace:

$$\begin{aligned} \mathcal{L}^{-1}\left\{\frac{k_1}{s}\right\} &= k_1 u(t) \\ \mathcal{L}^{-1}\left\{\frac{1}{s - a}\right\} &= e^{at} \\ \mathcal{L}^{-1}\left\{\frac{k_2}{(s + p_1)}\right\} &= k_2 e^{-p_1 t} \end{aligned}$$

Teremos então:

$$y(t) = \frac{KA}{p_1} (1 - e^{-p_1 t}) \cdot u(t - t_p)$$

A parte esquerda da equação anterior (desconsiderando o atraso no tempo) resulta no gráfico 1, cujo código no MATLAB adotado para gerá-lo aparece à seguir:

```
>> K=5; % ganho estático da planta
>> A=2; % amplitude do degrau
>> p1=2; % posição do pólo
>> fplot(@(t) [(K*A*(1-exp(-p1*t)))/p1], [0 5])
>> grid
```

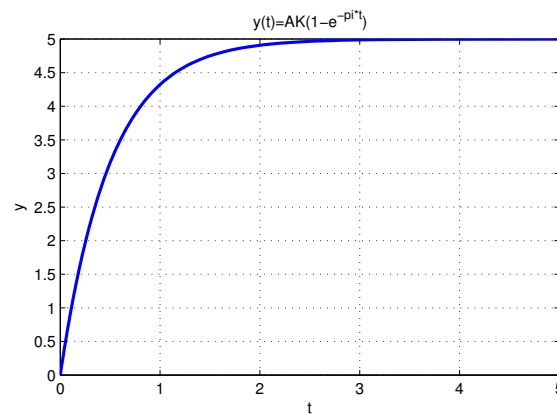


Figura 1: Resposta temporal de sistema de 1a-ordem.

1.2 Sistema de 2a-ordem

Um sistema de 2a-ordem pode ser parametrizado como:

$$G(s) = \frac{k_2 \cdot b}{s^2 + a s + b} = \frac{k_2 \cdot w_n^2}{s^2 + 2 \zeta w_n s + w_n^2} \quad (4)$$

onde:

$$\begin{aligned} s &= \sigma \pm j w_d \\ \sigma &= w_n \cos(\alpha) = w_n \zeta \\ w_d &= w_n \sin(\alpha) = w_n \sqrt{1 - \zeta^2} \\ a \zeta &= \cos(\alpha) \\ \sin(\alpha) &= \sqrt{1 - \zeta^2} \end{aligned}$$

1.3 Sistema de 3a-ordem (somente pólos)

Seja uma planta caracterizada como:

$$G(s) = \frac{K}{(s + p_1)(s + p_2)(s + p_3)} \quad (5)$$

Supondo que todos os seus pólos são estáveis (provavelmente um par conjugado complexo e mais uma raiz real). O acréscimo de uma entrada degrau de amplitude A a este sistema resulta na seguinte equação característica:

$$\begin{aligned} C(s) &= R(s)G(s) \\ &= \frac{AK}{s(s + p_1)(s + p_2)(s + p_3)} \end{aligned}$$

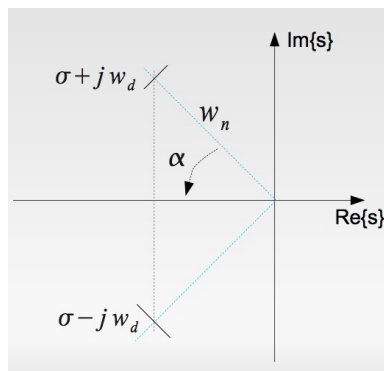


Figura 2: Localização dos pólos complexos num sistema de 2ª-ordem.

E a transformada inversa de Laplace (saída do sistema em malha aberta) resulta em:

$$y(t) = \frac{AK}{p_1 p_2 p_3} - \frac{AK}{p_1 e^{p_1 t} (p_1 - p_2) (p_1 - p_3)} + \frac{AK}{p_2 e^{p_2 t} (p_1 - p_2) (p_2 - p_3)} - \frac{AK}{p_3 e^{p_3 t} (p_1 - p_3) (p_2 - p_3)} \quad (6)$$

Usando MATLAB:

```

1 >> clear all
2 >> syms s A K p_1 p_2 p_3;
3 >> c = (A*K) / (s*(s+p_1)*(s+p_2)*(s+p_3));
4 >> y = ilaplace(c)

```

Exemplo: Supondo que um sistema possua os pólos localizados em: $p_1 = -1 + 2j$, $p_2 = -1 - 2j$ e $p_3 = -5$, e que o ganho estático da planta seja: $K = 0,5$:

$$Y = \frac{1}{2(s^2 + 2s + 5)(s + 5)} \quad (7)$$

Suponha ainda que este sistema seja submetido a uma entrada degrau de amplitude $A = 2$, a resposta no tempo (malha aberta) resultaria em algo do tipo mostrado na figura 3. A figura 4(b) mostra o lugar das raízes que corresponde a este exemplo.

A equação transferência resultaria em:

$$\begin{aligned}
 Y(s) &= R(s)G(s) = \frac{AK}{s(s + p_1)(s + p_2)(s + p_3)} \\
 &= \frac{1}{s(s + 1 + 2j)(s + 1 - 2j)(s + 5)} \\
 &= \frac{1}{s(s^2 + 2s + 5)(s + 5)} \\
 &= \frac{1}{s(s^3 + 7s^2 + 15s + 25)} \\
 &= \frac{1}{s^4 + 7s^3 + 15s^2 + 25s}
 \end{aligned}$$

E sua transformada inversa de Laplace resulta em:

$$\begin{aligned}
 y(t) &= \frac{1}{25} - \frac{3 \left(\cos(2t) + \frac{4 \sin(2t)}{3} \right)}{100 e^t} - \frac{1}{100 e^{5t}} \\
 y(t) &= \frac{1}{25} - \frac{3}{100} \left[\cos(2t) + \frac{4}{3} \sin(2t) \right] e^{-t} - \frac{e^{-5t}}{100} \quad (8)
 \end{aligned}$$

O termo $\cos(2t) + \frac{4}{3} \sin(2t)$ corresponde a uma senóide com atraso de fase (ver Apêndice B, pág. 22):

$$\cos(2t) + \frac{4}{3} \sin(2t) = \sqrt{\left[1^2 + \left(\frac{4}{3} \right)^2 \right]} \sin(2t + \varphi) = 1,67 \sin(2t + 36,87^\circ)$$

onde:

$$\varphi = \arctan\left(\frac{1}{4/3}\right) = \arctan(3/4) = 0,6435(\text{rad}) = 36,87^\circ$$

ou finalmente:

$$y(t) = \frac{1}{25} - \frac{1}{20} e^{-t} \sin(2t + 36,87^\circ) - \frac{e^{-5t}}{100}$$

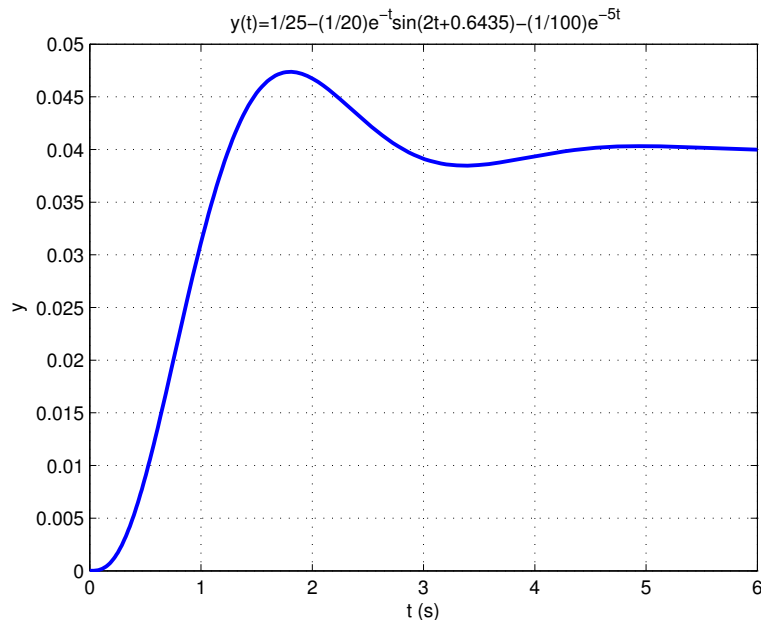


Figura 3: Resposta à entrada degrau de um sistema de 3a-ordem (somente pólos).

A mesma resposta alcançada de maneira literal, pode ser obtida usando-se as funções 'tf(.)' e 'step(.)' do MATLAB (ver figura 4(a)):

```
1 >> num=0.5;
2 >> den=[1 7 15 25];
3 >> c=tf(num,den)
4 Transfer function:
5       0.5
6 -----
7 s^3 + 7 s^2 + 15 s + 25
8 >> step(2*c)
9 >> figure; pzplot(c)
```

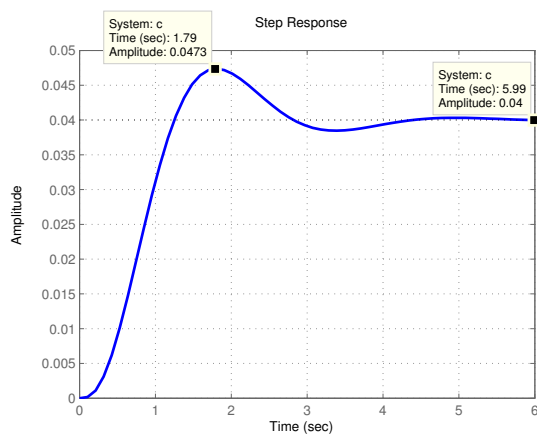
Se uma malha de controle com ganho proporcional for incorporada a este sistema, eq(7), a função transferência de malha fechada fica:

$$\text{FTMF}(s) = \frac{1}{2} \cdot \frac{1}{(s + 5,025)(s^2 + 1,975s + 5,075)}$$

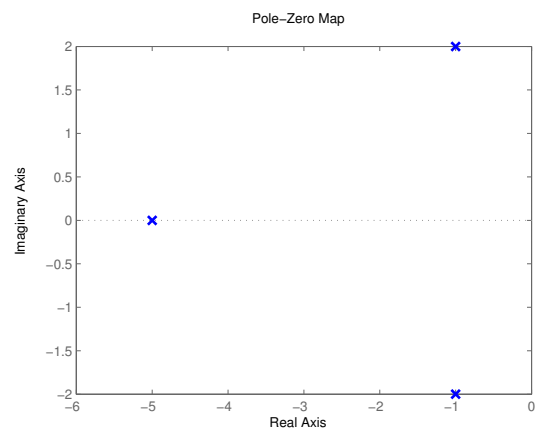
Aplicando-se uma entrada degrau de amplitude 2, obteríamos a saída mostrada na figura 5.

Código adotado no MATLAB:

```
1 >> clear
2 >> num=0.5;
3 >> den=poly([-1+2j -1-2j -5])
4 >> g=tf(num,den)
5 Transfer function:
6       0.5
7 -----
8 s^3 + 7 s^2 + 15 s + 25
9 >> zpk(g)
10 Zero/pole/gain:
11      0.5
```



(a) Usando função 'step(.)' do MATLAB.



(b) Lugar das raízes.

Figura 4: Sistema com 3 pólos somente.

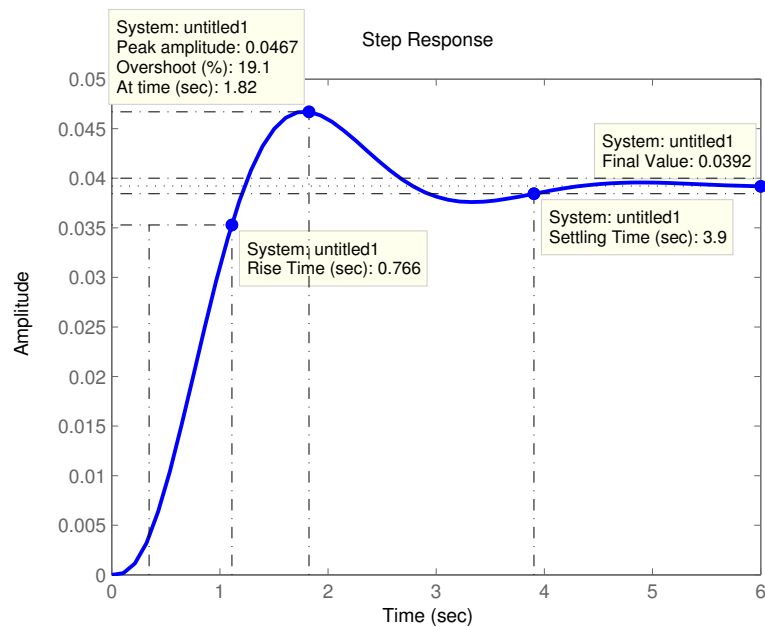


Figura 5: Sistema com 3 pólos somente em malha fechada com ganho proporcional unitário.

```

12 |-----
13 | (s+5) (s^2 + 2s + 5)
14 |
15 | >> h=tf([1],[1]); % controlador proporcional, ganho unitário
16 | >> FTMF=feedback(g,h)
17 | Transfer function:
18 |      0.5
19 |-----
20 | s^3 + 7 s^2 + 15 s + 25.5
21 | >> zpk(FTMF)
22 | Zero/pole/gain:
23 |      0.5
24 |-----
25 | (s+5.025) (s^2 + 1.975s + 5.075)
26 | >> step(2*FTMF)
27 | >>

```

1.4 Sistema de 3a-ordem com 1 zero

Seja uma planta semelhante à do caso anterior, contendo 3 pólos em: $s = -5$ e $s = -1 \pm j2$ mas com um zero cuja localização varia conforme os casos abaixo:

- Zero em $s = -1/2$;
- Zero em $s = -3$;
- Zero em $s = -10$.

A figura 6 mostra o plano-s com a localização das raízes para os 3 casos.

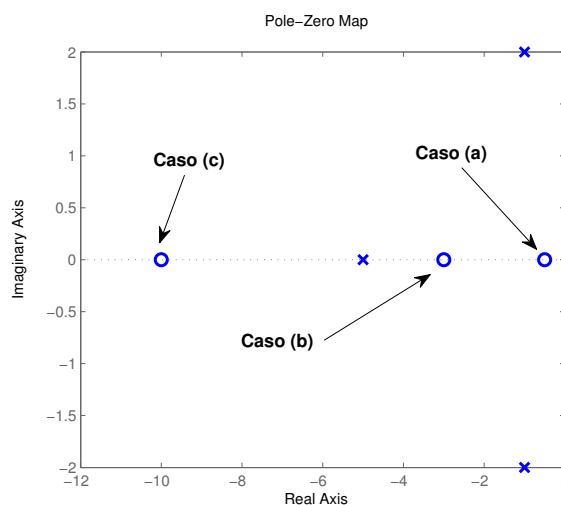


Figura 6: Os 3 casos do sistema de 3a-ordem com um zero.

1.4.1 Caso a) Zero em $s = -1/2$

A função transferência deste sistema fica:

$$G(s) = \frac{0.5(s + 1/2)}{s^3 + 7s^2 + 15s + 25}$$

A posição dos pólos e zero deste sistema, justamente com o diagrama do local das raízes (resultando deste sistema quando submetido a um controlador proporcional) é mostrado na figura 7(a). Quando aplicado um degrau de amplitude 2 (em malha aberta) neste sistema, resulta no gráfico mostrado na figura 7(b).

Note que este sistema não se torna estável para malha fechada com ganho proporcional (figura 7(a)).

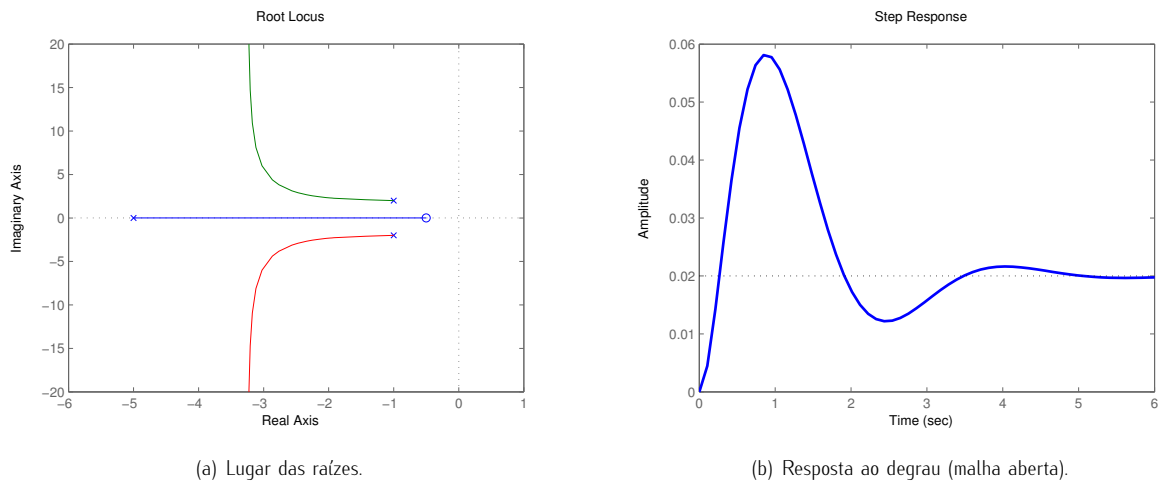


Figura 7: Caso a) Sistema com 3 pólos e 1 zero em $s = -1/2$.

1.4.2 Caso b) Zero em $s = -3$

A função transferência deste sistema fica:

$$G(s) = \frac{0.5(s+5)}{s^3 + 7s^2 + 15s + 25} = \frac{1/2s + 3/2}{s^3 + 7s^2 + 15s + 25}$$

A posição dos pólos e zero deste sistema, juntamente com o diagrama do local das raízes (resultando deste sistema quando submetido a um controlador proporcional) é mostrado na figura 8(a). Quando aplicado um degrau de amplitude 2 (em malha aberta) neste sistema, resulta no gráfico mostrado na figura 8(b).

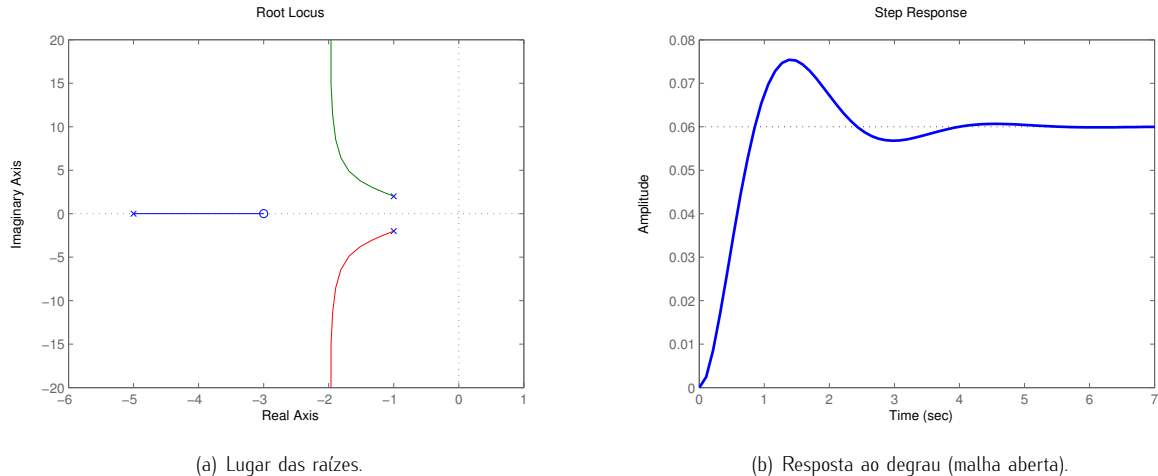


Figura 8: Caso a) Sistema com 3 pólos e 1 zero em $s = -3$.

Notar que este sistema também não se torna instável mesmo para ganhos elevados (K_p) quando em malha fechada (ver figura 8(a)).

1.4.3 Caso c) Zero em $s = -10$

A função transferência deste sistema seria:

$$G(s) = \frac{0.5(s+10)}{s^3 + 7s^2 + 15s + 25} = \frac{1/2s + 5}{s^3 + 7s^2 + 15s + 25} \quad (9)$$

A posição dos pólos e zero deste sistema, juntamente com o diagrama do local das raízes (resultando deste sistema quando submetido a um controlador proporcional) é mostrado na figura 9(a). Quando aplicado um degrau de amplitude 2 (em malha aberta) neste sistema, resulta no gráfico mostrado na figura 9(b).

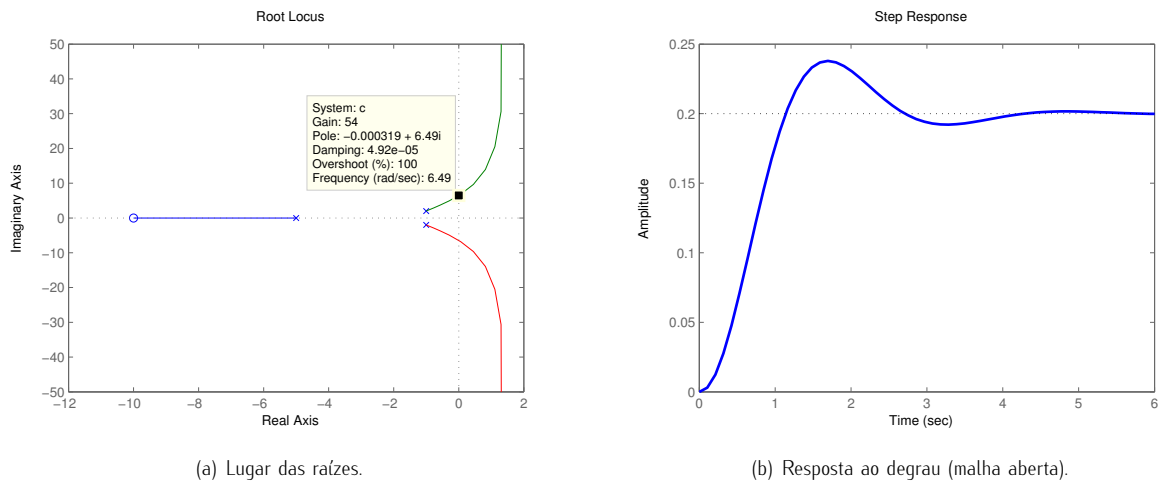


Figura 9: Caso a) Sistema com 3 pólos e 1 zero em $s = -10$.

Neste caso, observando-se a figura 9(a) se percebe que a partir de certo valor, a malha fechada usando apenas ganho proporcional se torna instável, o caso do processo da bola-e-tubo.

Aplicando uma entrada degrau de amplitude 5 a este sistema, resulta em:

$$Y(s) = R(s) \cdot G(s) = \frac{5 \cdot 0.5(s + 10)}{s(s^2 + 1 \pm j2)(s + 5)} = \frac{2.5s + 25}{s^4 + 7s^3 + 15s^2 + 25s} \quad (10)$$

A transformada inversa de Laplace sobre a equação 10 resulta em:

$$y(t) = 1 - \frac{7 \left(\cos(2t) + \frac{6 \sin(2t)}{7} \right)}{8e^t} - \frac{1}{8e^{5t}} \quad (11)$$

$$y(t) = 1 - \frac{7}{8}e^{-t} \left[\cos(2t) + \frac{6}{7} \sin(2t) \right] - \frac{1}{8}e^{-5t} \quad (12)$$

Note que em comparação com um sistema de 3a-ordem constituído apenas por 3 pólos, o que mudou agora, foi o valor atingido em regime permanente (efeito de "offset" no ganho DC provocado pelo zero introduzido no sistema).

1.5 Sistema de 5a-ordem

Seja um sistema de 5a-ordem com os pólos localizados em:

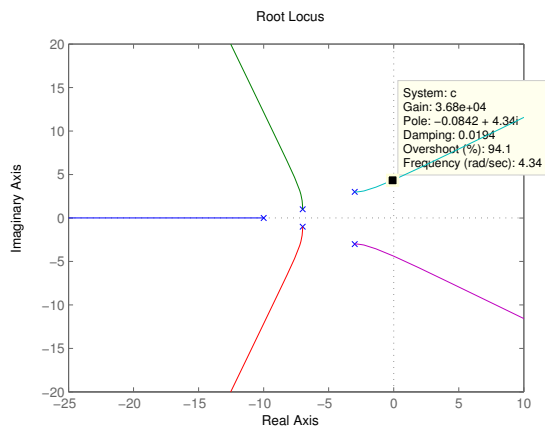
$$\begin{aligned} p_1 &= -3 + j3 \\ p_2 &= -3 - j3 \\ p_3 &= -7 + j \\ p_4 &= -7 - j \\ p_5 &= -10 \end{aligned}$$

Considerando ainda um ganho estático de $1/2$, a função transferência deste sistema fica:

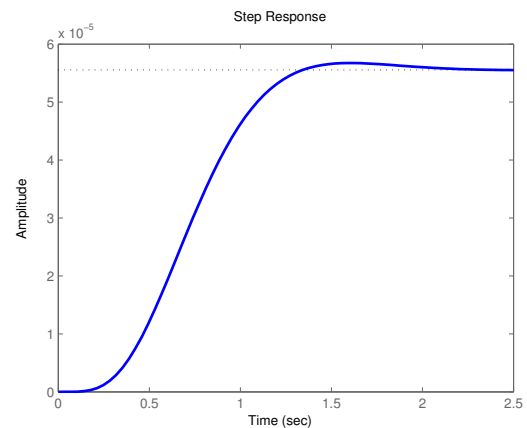
$$\begin{aligned} G(s) &= \frac{1}{2[(s + 10)(s^2 + 14s + 50)(s^2 + 6s + 18)]} \\ G(s) &= \frac{1}{2(s^5 + 30s^4 + 352s^3 + 2072s^2 + 6420s + 9000)} \end{aligned}$$

Quando submetido a uma entrada degrau de amplitude 2 (em malha aberta), resulta na resposta ilustrada na figura 10(b).

Note que os pólos dominantes neste sistema são: $p_{\{1,2\}} = -3 \pm j3$ (resulta na equação: $(s^2 + 6s + 18)$). Se aplicarmos uma entrada degrau de amplitude 2 neste sistema de 2a-ordem (malha aberta), obtemos uma resposta bastante próxima a não ser pelas amplitudes envolvidas como pode ser visto na figura.



(a) Lugar das raízes.



(b) Resposta ao degrau (malha aberta).

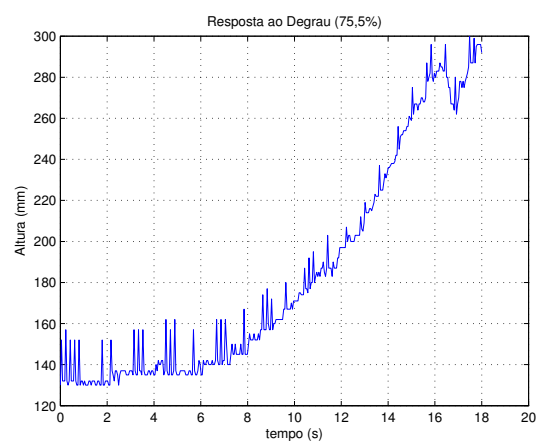
Figura 10: Sistema com 5 pólos (somente).

2 Um exemplo real

Seja um exemplo real do processo da Bola-e-Tubo (figura 11(a)). Quando aplicado uma entrada degrau de 75,5% de amplitude (saída do controlador PWM), ele reage da forma mostrada na figura 11(b).



(a) Foto do processo.



(b) Resposta ao Degrau.

Figura 11: Processo da Bola e Tubo e sua resposta ao degrau.

Uma saída filtrada do processo pode ser obtida, se for adotado um filtro passa-baixa (PB) sobre a resposta original do sistema (ver Apêndice D, pág. 22).

Aplicando-se o filtro PB sobre o sinal ruidoso do processo da Bola-e-Tubo com frequência de corte de $f_c = 0,6$ [Hz] obtemos o resultado apresentado na figura 12.

```

1 >> RC=1/(2*pi*0.6)
2 RC =
3     0.2653

```

```

4 >> y=lowpass(dados(:,1),Ts,RC);
5 alpha =
6     0.1505
7 RC/Ts= 5.6438
8 >> plot(t,dados(:,1),'m:',t,y,'b-')

```

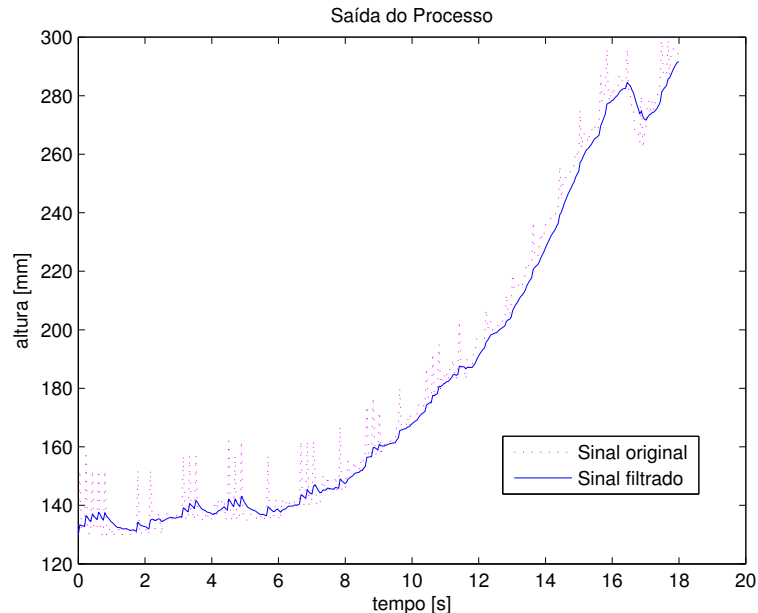


Figura 12: Sinal de saída filtrado do processo da Bola-e-Tubo.

2.1 Identificando como de 2a-ordem, subamortecido

Seja um sistema de 2a-ordem parametrizado como:

$$G(s) = K \cdot \frac{w_n^2}{s^2 + 2\zeta w_n s + w_n^2} \quad (13)$$

onde: w_n corresponde a frequência de oscilação natural do sistema; ζ corresponde ao fator de amortecimento, neste caso específico, de um sistema subamortecido: $0 < \zeta < 1$; e K corresponde ao valor atingido em regime permanente (malha aberta, entrada degrau).

Quando submetido à uma entrada degrau, de amplitude K_u o sistema fica:

$$C(s) = K_u \cdot K \cdot \frac{w_n^2}{s(s^2 + 2\zeta w_n s + w_n^2)} = \frac{K_1}{s} + \frac{K_2 s + K_3}{s^2 + 2\zeta w_n s + w_n^2} \quad (14)$$

A transformada de Laplace inversa da equação 14 resulta em:

$$c(t) = K K_u \left\{ 1 - \exp(-\zeta w_n t) \cdot \left[\cos\left(w_n \sqrt{1 - \zeta^2} t\right) + \frac{\zeta}{\sqrt{1 - \zeta^2}} \sin\left(w_n \sqrt{1 - \zeta^2} t\right) \right] \right\} \quad (15)$$

onde: $w_n \sqrt{1 - \zeta^2} = w_d$ e corresponde a frequência da oscilação amortecida. Notar que corresponde também a parte imaginária do par conjugado complexo: $\pm j w_d = \pm j w_n \sqrt{1 - \zeta^2}$ e que $-\zeta w_n = -\sigma_d$ corresponde a parte real do par conjugado complexo. Desta forma, podemos reescrever a eq. (15) no formato:

$$c(t) = K K_u \{1 - \exp(-\sigma t) \cdot [\cos(w_d t) + b \sin(w_d t)]\} \quad (16)$$

onde: $b = \frac{\zeta}{\sqrt{1 - \zeta^2}}$.

A função `step2poles.m` sintetiza no MATLAB a resposta temporal descrita pela eq. (15).

```

1 function y = step2poles(p,t)
2 % esta função retorna um vetor de valor de tamanho size(t) que
3 % corresponde a resposta temporal de um sistema de 2ª-ordem subamortecido
4 % com par de polos complexos, e 0 < fator_amortecimento < 1
5 % y=K*[1-exp(-zeta*wn*t)*[cos(wn*sqrt(1-zeta^2)*t)+(zeta/sqrt(1-zeta^2))*sin(wn*sqrt(1-
6 % zeta^2)*t)]]
7 % K -> p(1)
8 % zeta -> p(2)
9 % wn -> p(3)
10 K=p(1);
11 zeta=p(2);
12 wn=p(3);
13 sigma=zeta*wn; % parte real do par complexo conjugado
14 wd=wn*sqrt(1-zeta*zeta); % parte imaginária do par complexo conjugado
15 b=zeta/(sqrt(1-zeta*zeta));
16 y=K*(1-exp(-sigma.*t).*(cos(wd.*t)+b*sin(wd.*t)));

```

step2poles.m

Testando a função criada anteriormente para o sistema:

$$G(s) = \frac{9}{s^2 + 2s + 9} = \frac{b}{s^2 + as + b}$$

com pólos localizados em $s = -1.0000 \pm j\sqrt{8}$. Temos neste caso: $b = w_n^2$, $w_n = \sqrt{9} = 3$ [rad/s], $a = 2\zeta w_n$, $\zeta = \frac{a/2}{w_n} = \frac{2/3}{3} = 1/3 = 0.3333$. Assim:

```

1 >> wn=3; p(3)=wn;
2 >> zeta=1/3; p(2)=zeta;
3 >> K=1; p(1)=K;
4 >> t=1:0.01:5;
5 >> y=step2poles(p,t);
6 >> % montando função transferência no MATLAB:
7 >> num=9;
8 >> g2=tf(num,den)
9 Transfer function:
10 9
11 -----
12 s^2 + 2 s + 9
13 >> y2=step(g2,t);
14 >> figure; plot(t,y2,'m+',t,y,'b-')

```

O gráfico resultante aparece na figura 13.

Pode-se usar o método dos mínimos quadrados para identificar os parâmetros K , ζ e w_n do processo da bola-e-tubo, trabalhando sobre o sinal de saída filtrado (figura 12). Neste caso usamos a função pronta do MATLAB: 'lsqcurvefit(-)'. Protótipo da função lsqcurvefit(-):

$x = \text{lsqcurvefit}(\text{FUN}, x_0, x_{\text{DATA}}, y_{\text{DATA}})$ inicia com a estimativa x_0 (de parâmetros de entrada) para encontrar os coeficientes (parâmetros) x que melhor se ajustem a função não linear **FUN**, dado o conjunto de pontos (dados): $[x_{\text{DATA}}, y_{\text{DATA}}]$, usando método dos mínimos quadrados.

onde **FUN** pode ser especificada usando '@':

```

1 xdata = [5;4;6]; % example xdata
2 ydata = 3*sin([5;4;6])+6; % example ydata
3 x = lsqcurvefit(@myfun, [2 7], xdata, ydata)

```

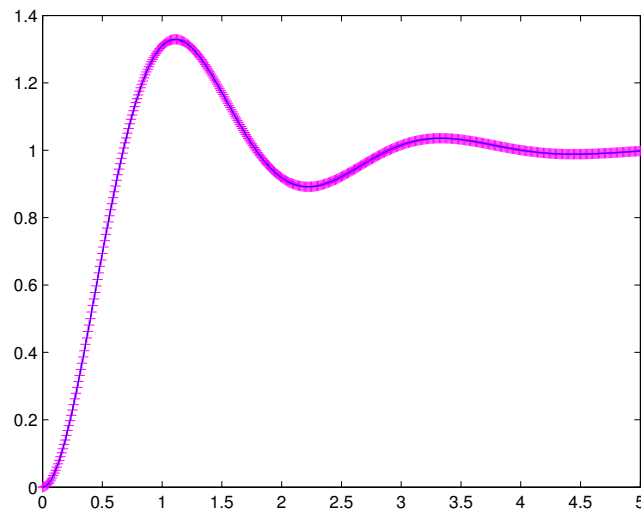
Neste caso 'myfun(-)' é uma função do MATLAB especificada como:

```

1 function F = myfun(x,xdata)
2 F = x(1)*sin(xdata)+x(2);

```

Outro exemplo de função usando parâmetros fixos (c) e outros que dependem do problema ($x(i)$) pode ser adotada:

Figura 13: Teste da função `step2poles.m`.

```
1 function F = myfun(x, xdata, c)
2   F = x(1)*exp(c*xdata)+x(2);
```

Neste último caso, antes desta função ser chamada é necessário já estar atribuído um valor para o parâmetro c . O código abaixo mostra um exemplo de uso:

```
1 xdata = [3; 1; 4]; % example xdata
2 ydata = 6*exp(-1.5*xdata)+3; % example ydata
3 c = -1.5; % define parameter
4 x = lsqcurvefit(@(x, xdata) myfun(x, xdata, c), [5; 1], xdata, ydata)
```

Continuando com os comandos no **MATLAB** usados para tentar encontrar os parâmetros para o processo da bola-e-tubo:

```
>> show_data
Nome do arquivo (com a extensão) ? degrau8.txt
>> who
Your variables are:
AX      H2      columnas  filename  t
H1      ans      dados      linhas
>> % dados(:,1) = altura da bola
>> % dados(:,2) = duty cycle adotado
>> % projetando FPB
>> RC=1/(2*pi*0.6);
>> Ts=0.047*2; % degrau8.txt saltava 1 amostragem de cada vez
>> yf=lowpass(dados(:,1),Ts,RC);
alpha =
    0.2617
RC/Ts= 2.8219 (esperado >= 5)
Warning: the filter may behave quite differently from the original continuous-time filter
>> t=0:0.047*2:0.047*2*383; % redefinindo vetor tempo
>> figure; plot(t,dados(:,1),'b-', t,yf,'m-')
```

É gerada a figura 14(a). Por inspeção da figura, se percebe que algumas amostras não servem para indentificar o sistema. Assi, trabalhamos com as amostras válidas entre: $3,5 < t < 29,5$ segundos ou as amostras de número 37 até 313 (figura 14(b)).

Usando estes dados para tentar obter os parâmetros do processo usando as funções `lsqcurvefit()` e `step2poles()`:

```
>> figure; plot(t(37:313),dados(37:313,1),'b-', t(37:313),yf(37:313),'m-')
>> par=lsqcurvefit('step2poles', [420 0.4 0.4], t(37:313)',dados(37:313,1))
Solver stopped prematurely.
lsqcurvefit stopped because it exceeded the function evaluation limit,
```

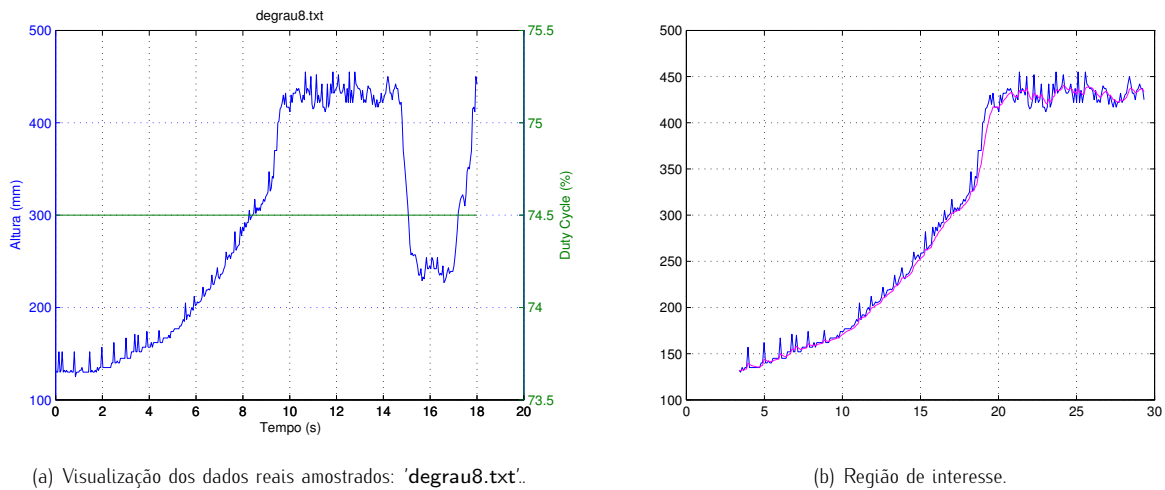


Figura 14: Resposta ao degrau, em malha aberta para processo da bola-e-tubo.

```
options.MaxFunEvals = 300 (the default value).
par =
    416.3118    3.3785    0.9851
>>
```

Testando os parâmetros encontrados: $K = 416.3118$, $\zeta = 3.3785$ e $w_n = 0.9$ com a função `step2poles()`:

```
>> % fabricando novo vetor tempo: t_teste
>> t(37)
ans =
    3.3840
>> % t(37) = offset no tempo...
>> t_teste=t(37): 0.047*2: t(37)+0.047*2*((313-37)-1);
>> size(t_teste)
ans =
     1    276
>> 313-37
ans =
    276
>> y_teste=step2poles(par,t_teste);
>> figure; plot(t(37:313),dados(37:313,1),'b-', t_teste,y_teste,'m-')
```

O resultado gráfico pode ser visto na figura 15.

Obs.: Note pela figura 15 se percebe que não foram levados em conta 2 parâmetros: um "offset" para a altura da bola e outro "offset" para a dimensão tempo.

De todas as formas os parâmetros encontrados: $K = 416.3118$, $\zeta = 3.3785$ e $w_n = 0.9$, levam à:

$$G(s) \cdot U(s) = \frac{K w_n^2}{s(s^2 + 2\zeta w_n s + w_n^2)} \quad (17)$$

$$= \frac{403,9981}{s(s^2 + 6,6563s + 0,9704)} \quad (18)$$

$$= \frac{403,9981}{s(s + 6,5071)(s + 0,1491)} \quad (19)$$

considerando que a amplitude da entrada degrau adotada em 'degrau8.txt' foi $u = 74,5\%$, então:

$$G(s) = \frac{5,5881}{(s + 6,5071)(s + 0,1491)}$$

2.2 Outra tentativa de identificação

Trabalhando com os dados: `dregrau8.txt`, amostrado à $T_s = 0,047 \times 2$ segundos e com base nas equações da tabela 1:

Usando o MATLAB para trabalhar sobre os dados reais:

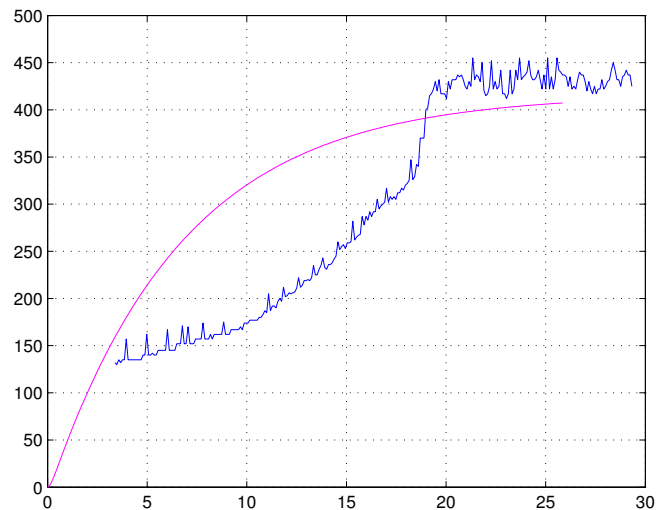


Figura 15: Teste da identificação realizada.

$$\%OS = \frac{y_{max} - y_{final}}{y_{final}} \times 100 \quad (20)$$

$$\zeta = \frac{-\ln(\%OS/100)}{\sqrt{\pi^2 + \ln^2(\%OS/100)}} \quad (21)$$

$$T_s = \frac{4}{\zeta w_n} \quad (22)$$

$$w_n = \frac{4}{\zeta T_s} \quad (23)$$

$$T_p = \frac{\pi}{w_n \sqrt{1 - \zeta^2}} = \frac{\pi}{w_d} \quad (24)$$

$$w_n = \frac{\pi}{T_p \sqrt{1 - \zeta^2}} \quad (25)$$

Tabela 1: Equações relacionadas com resposta típica de sistema subamortecido de 2a-ordem

```
>> dados=load('degrau8.txt');
>> size(dados)
ans =
    384     2
>> % fabricando vetor tempo:
>> Ts=0.047*2
>> t=0: Ts: Ts*383;
>> size(t)
ans =
     1    384
>> y1=dados(37:313,1); % separando região de interesse
>> t1=t(37:313);
>> plot(t1,y1)
>> y_min=min(y1) % separando menor valor de y
y_min =
    130
>> y_max=max(y1) % separando maior valor de y
y_max =
    455
>> hold on;
>> % mostrando pontos de interesse num único gráfico
>> aux=num2str(y_max)
```

```

aux =
    455
>> text(t1(1),y_max,aux) % mostra na tela gráfica, valor
>> aux=num2str(y_min);
>> text(t1(1),y_min,aux)
>> aux=num2str(t1(1));
>> text(t1(1),y_min,aux)

```

Até este ponto obtemos o gráfico mostrado na figura 16.

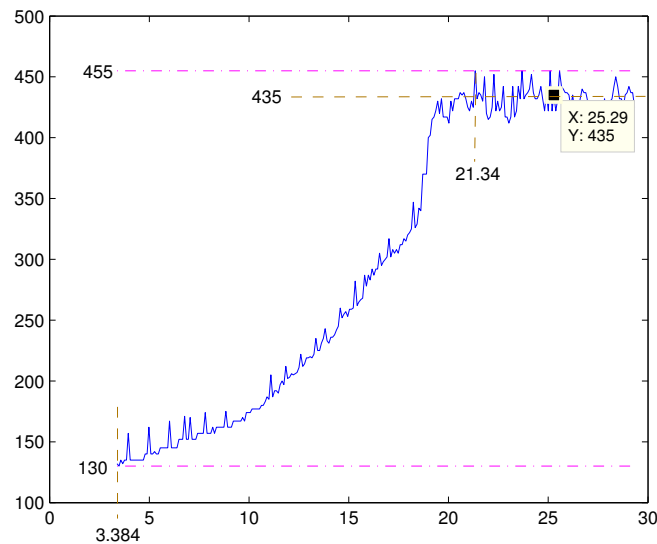


Figura 16: Pontos de interesse na resposta ao degrau do processo da Bola e Tubo.

A função '`lsqcurvefit(myfun)(...)`' apresenta a possibilidade de se trabalhar com a função `myfun` que aceite constantes como **segundo parâmetro de entrada**.

Observe o seguinte exemplo:

```

1 function F = myfun(x, xdata, c)
2   F = x(1)*exp(c*xdata)+x(2);

```

usada da seguinte forma com a função `lsqcurvefit()`:

```

1 xdata = [3; 1; 4];           % example xdata
2 ydata = 6*exp(-1.5*xdata)+3; % example ydata
3 c = -1.5;                    % define parameter
4 x = lsqcurvefit(@(x,xdata) myfun(x,xdata,c), [5;1], xdata, ydata)

```

onde: `c` seria um segundo argumento de entrada, no caso, uma constante, cujo valor já seria conhecido de antemão. Seria para o nosso caso, o valor do "offset" que é necessário adicionar à saída do processo identificado como um sistema de 2ª-ordem. Isto implica em modificar a função '`step2poles(.)`' para a nova função: '`step2polesplus(.)`':

```

1 function y = step2polesplus(p,t, constant)
2 % esta função retorna um vetor de valor de tamanho size(t) que
3 % corresponde a resposta temporal de um sistema de 2ª-ordem subamortecido
4 % com par de polos complexos, e 0 < fator_amortecimento < 1
5 % y=K*[1-exp(-zeta*wn*t)]*[cos(wn*sqrt(1-zeta^2)*t)+(zeta/sqrt(1-zeta^2))*sin(wn*sqrt(1-
6 %   zeta^2)*t)]
7 % K -> p(1)
8 % zeta -> p(2)
9 % wn -> p(3)
10 % offset em y -> p(4)
11 % atraso no tempo -> p(5)

```



```

11 K=p(1);
12 zeta=p(2);
13 wn=p(3);
14 sigma=zeta*wn; % parte real do par complexo conjugado
15 wd=wn*sqrt(1-zeta*zeta); % parte imaginária do par complexo conjugado
16 b=zeta/(sqrt(1-zeta*zeta));
17 % y= K*(1 - exp(-sigma.*t).*( cos(wd.*t)+b*sin(wd.*t) ));
18 y= constant + K*(1 - exp(-sigma.*t).*( cos(wd.*t)+b*sin(wd.*t) ));

```

step2polesplus.m

Outro detalhe antes do momento de voltar a usar a função 'lsqcurvefit' é que a função 'step2polesplus' não é capaz de lidar com atraso de transporte, isto é, seu segundo parâmetro de entrada, t , não contempla o caso de uma resposta de sistema de 2ª-ordem com atraso no tempo. Então se faz necessário realizar um "shift left" (deslocamento para esquerda) do vetor de dados y_1 e t_1 usado anteriormente, como se não existisse o atraso no tempo. Voltando ao MATLAB:

2.3 Identificando como de 3ª-ordem, com 1 zero

Comparando-se este processo com a resposta esperada para um processo de 3ª-ordem composto apenas de 3 pólos e um atraso no tempo:

$$Y(s) = \frac{K}{(s + p_1)(s + p_2)(s + p_3)} \cdot e^{-s t_p}$$

– A EQUAÇÃO ACIMA ESTÁ CONFORME COM O QUE SEGUE ?
ERRO: DEVERIA SER UM ZERO + 3 PÓLOS = SISTEMA COM K_u

– REFAZER PARA RESPOSTA À DEGRAU MALHA ABERTA PARA SISTEMAS DE 2ª-ORDEM ***

onde se aplica um sinal degrau de amplitude A , obteremos como resposta em malha aberta:

$$R(s) Y(s) = \frac{AK}{s(s + p_1)(s + p_2)(s + p_3)} \cdot e^{-s t_p}$$

desconsiderando o atraso no tempo, a transformada inversa de Laplace da equação acima é dada pela equação (8):

$$y(t) = k_1 + k_2 \cdot e^{\text{Re}\{p_1\}t} \cdot [\cos(\text{Im}\{p_1\}t) + k_3 \cdot \sin(\text{Im}\{p_1\}t)] + k_4 e^{p_3 t} \quad (26)$$

Aplicando-se no caso, podemos aproximar o atraso no tempo à 6 segundos, o que equivale a trabalhar a partir da amostra de número $k = 128$ ($6/0,047 = 127,6596$). Podemos usar o método numérico dos mínimos quadrados para tentar obter os 7 parâmetros: $k_1, k_2, k_3, k_4, \text{Re}\{p_1\}, \text{Im}\{p_1\}$ e p_3 da equação (26) para o processo em questão. Para tanto, necessitamos codificar esta função no MATLAB – função 'step3poles', realizando uma pequena adaptação na equação (26):

$$y(t) = p(1) + p(2) \cdot e^{p(5)t} \cdot \{\cos[p(6)t] + p(3) \sin[p(6)t]\} + p(4) e^{p(7)t} \quad (27)$$

```

1 % Função que devolve y(t) para entrada degrau de
2 % sistema com 3 pólos somente
3 % y(t)=k1-k2*exp(Re{p1}*t)*[cos(|Im{p2}|*t)+k3*sin(|Im{p2}|*t)]-k4*exp(p3*t)
4 % parâmetros de entrada: 7 + t
5 %
6 % function resp = step3poles(k1,k2,k3,k4,Re_p1,Im_p1,p3,t)
7 function resp = step3poles(p,t)
8 % resp= k1 + k2.*exp(Re_p1.*t).*(cos(Im_p1.*t)+k3*sin(Im_p1.*t)) + k4.*exp(p3.*t);
9 resp= p(1)+p(2).*exp(p(5).*t).*(cos(p(6).*t)+p(3).*sin(p(6).*t))+p(4).*exp(p(7).*t);

```

step3poles.m

E neste momento podemos fazer uso da função 'lsqcurvefit' do MATLAB:

```

>> size(dados)
ans =
    384     2
>> par=lsqcurvefit('step3poles', [1/5 -1/10 1/2 -1/50 -1 -2 -3], dados(128:384,1), dados(128:384,2))
Local minimum found.
Optimization completed because the size of the gradient is less than

```

the default value of the function tolerance.

<stopping criteria details>

par =

755.0000 -0.1000 0.5000 -0.0200 -1.0000 -2.0000 -3.0000

Optimization completed: The first-order optimality measure, 0.000000e+00, is less than options.TolFun = 1.000000e-06.

Optimization Metric

Options

relative first-order optimality = 0.00e+00 TolFun = 1e-06 (default)

>>

Neste caso, com o resultado obtido pela função `lsqcurvefit()` obtemos a seguinte função $y(t)$:

$$y(t) = 755 - 1 \cdot e^{-1t} \cdot \{\cos[-2t] + (1/2) \cdot \sin[-2t]\} - (2/100) \cdot e^{-3t} \quad (28)$$

ou seja, não parece que função tenha convergido (encontrado valores) adequadamente para os parâmetros: p_5 ($\text{Re}\{polo_1\}$), p_6 ($\text{Im}\{polo_1\}$) e p_7 (posição do pólo real). Executando novamente a função, mas desta vez como novos valores iniciais:

*** REFAZER códigos no MATLAB, SEPARANDO as variáveis utilizadas para evitar eventuais confusões (erros) ***

Observações:

1. Local Minimum Found: The solver located a point that seems to be a local minimum of the sum of squares, since the first-order optimality measure is close to 0. A local minimum of a function is a point where the function value is smaller than at nearby points, but possibly greater than at a distant point or global minimum is a point where the function value is smaller than at all other feasible points – veja figura 17.

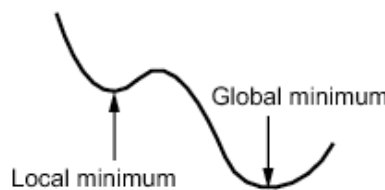


Figura 17: O problema do mínimo local.

2. Function Tolerance: The function tolerance called TolFun relates to both:

- The size of the latest change in objective function value.
- The value of the first-order optimality measure

Ver figura 18

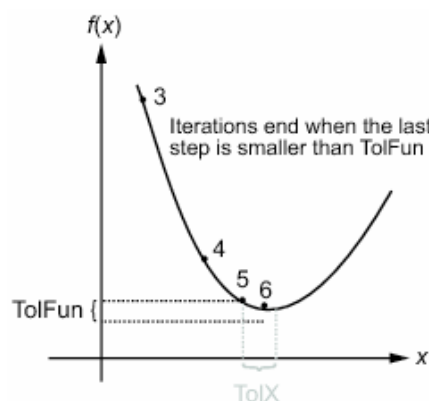


Figura 18: Estabelecendo uma tolerância para a aproximação realizada.

Referências

- [1] Nise, Norman S.; Control Systems Engineering, 4th Edition (Hardcover), Wiley; 4 edition (September 2, 2003), <http://bcs.wiley.com/he-bcs/Books?action=index&itemId=0471445770&itemTypeId=BKS&bcsId=1758> by
- [2] 2011 Spring – EE381 Control System Engineering (English Lecture), Professor : Ju-Jang Lee, <http://iliad.kaist.ac.kr/english/frameset/frameset.htm> (Disponível em 12/04/2011).
- [3] Interactive Mathematics, Table of Laplace Transformations, <http://www.intmath.com/Laplace-transformation/Table-laplace-transforms.php> (Disponível em 12/04/2011).
- [4] Laplace Transform, Wolfram MathWorld (the web's most extensive mathematics resource, <http://mathworld.wolfram.com/LaplaceTransform.html> (Disponível em 12/04/2011).
- [5] R2011a Documentation – Symbolic Math Toolbox, MathWorks, ilaplace (Inverse Laplace transform, <http://www.mathworks.com/help/toolbox/symbolic/ilaplace.html> (Disponível em 12/04/2011).
- [6] R2011a Documentation – Control System Toolbox, MathWorks, sgrid, <http://www.mathworks.com/help/toolbox/control/ref/sgrid.html> (Disponível em 12/04/2011).
- [7] EE 6319 Control Theory, Computer Assignment 01, Prof. Ariyadasa L.P.N.I., Dept. Electrical and Informatics Engineering, Faculty of Engineering, University of Ruhuna, 05/16/2009, <http://www.scribd.com/doc/15492580/Matlab-for-Control-Theory> (Disponível em 12/04/2011).

A Transformada Inversa de Laplace, no MATLAB

Com o MATLAB é possível de determinar a transformada inversa de Laplace de algumas funções. Para tanto se faz necessário o uso do toolbox 'Symbolic Math Toolbox'.

Exemplos:

Ex. 1: Seja:

$$G(s) = \frac{1}{(s + a)}$$

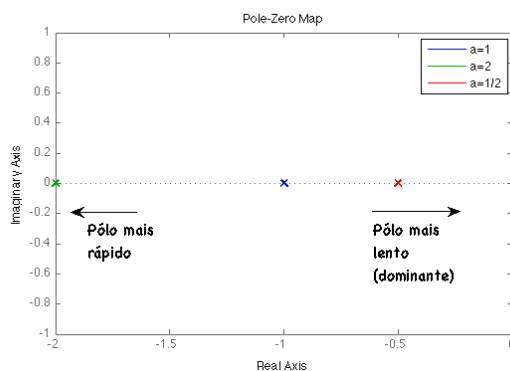
Sua inversa no MATLAB (ou seja, a resposta no tempo para uma entrada impulso unitário) ficaria:

```
>> syms s a;
>> g=1/(s+a);
>> ilaplace(g)
ans =
1/exp(a*t)
>>
```

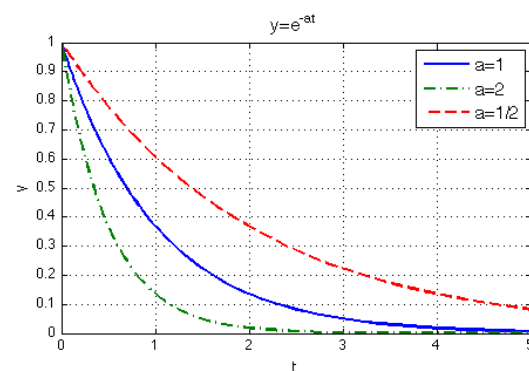
Resposta:

$$\mathcal{L}^{-1}\{G(s)\} = e^{-a t}$$

A figura 19 dá uma ideia gráfica do resultado.



(a) Pólos no plano-s.



(b) Resposta no tempo.

Figura 19: Resposta ao impulso unitário para sistema de 1ª ordem (1 pólo).

Seguem abaixo os comandos usados no MATLAB para criar a figura 19 acima

```
>> % comandos para criar plano-s
>> den1=[1 1];
>> den2=[1 2];
>> den3=[1 0.5];
>> [z1 p1 k1]=tf2zp(num,den1);
>> [z2 p2 k2]=tf2zp(num,den2);
>> [z3 p3 k3]=tf2zp(num,den3);
>> pzmap(p1,z1);
>> hold on; pzmap(p2,z2);
>> hold on; pzmap(p3,z3);
>> legend('a=1','a=2','a=1/2')
>> % comandos para criar resposta no tempo
>> [x1,y1]=fplot(@t exp(-t),[0 5]);
>> [x2,y2]=fplot(@t exp(-2*t),[0 5]);
>> [x3,y3]=fplot(@t exp(-0.5*t),[0 5]);
>> plot(x1,y1, x2,y2, x3,y3); grid
>> legend('a=1','a=2','a=1/2')
>> title('y=e^{-at}')
>> xlabel('t')
>> ylabel('y')
```

Ex. 2: Mesmo sistema do exemplo anterior, mas submetido a uma entrada degrau unitário (malha aberta). A função transferência se modifica agora para

Ex. 3: Seja:

$$\begin{aligned} G(s) &= Y(s) \cdot U(s) = \frac{1}{(s+a)} \cdot \frac{1}{s} \\ &= \frac{1}{s(s+a)} \end{aligned}$$

A inversa de $G(s)$, usando o MATLAB, fica:

```
>> clear all
>> syms s a;
>> g=1/(s*(s+a));
>> ilaplace(g)
ans =
1/a - 1/(a*exp(a*t))
>>
```

Ou seja:

$$\begin{aligned} \mathcal{L}^{-1}\{G(s)\} &= \frac{1}{a} - \frac{1}{a} e^{-at} \\ &= \frac{1}{a} (1 - e^{-at}) \end{aligned}$$

A figura

Ex. 4: Seja um sistema de 2ª-ordem composto de apenas 2 pólos (estáveis):

$$G(s) = \frac{1}{(s+p_1)(s+p_2)}$$

No MATLAB sua inversa ficaria:

```
>> clear
>> syms s p1 p2;
>> g=1/((s+p1)*(s+p2));
>> ilaplace(g)
ans =
1/(exp(p2*t)*(p1 - p2)) - 1/(exp(p1*t)*(p1 - p2))
>>
```

Ou seja, a resposta »:

$$\begin{aligned} \mathcal{L}^{-1}\{G(s)\} &= \frac{1}{e^{p_2 t} (p_1 - p_2)} - \frac{1}{e^{p_1 t} (p_1 - p_2)} \\ &= \frac{e^{-p_2 t}}{(p_1 - p_2)} + \frac{e^{-p_1 t}}{(p_1 - p_2)} \end{aligned}$$

B Relações trigonométricas

$$\begin{aligned} \sin(-\theta) &= -\sin(\theta) \\ \sin(\theta + \pi) &= -\sin(\theta) \\ \sin(\theta + \pi/2) &= +\cos(\theta) \\ \cos(-\theta) &= +\cos(\theta) \\ \cos(\theta + \pi) &= -\cos(\theta) \\ \cos(\theta + \pi/2) &= -\sin(\theta) \end{aligned}$$

Combinação linear de senos e cossenos:

$$x \sin(\alpha) + y \cos(\alpha) = R \sin(\alpha + \beta) \quad (29)$$

$$x \cos(\alpha) - y \sin(\alpha) = R \cos(\alpha + \beta) \quad (30)$$

$$R = \sqrt{x^2 + y^2} \quad (31)$$

$$\beta = \arctan(y/x) \quad (32)$$

$$(33)$$

Exemplo:

$$f(t) = [4 - 4e^{-2t} \cos(t) + 2e^{-2t} \sin(t)]u(t)$$

resulta em:

$$f(t) = [4 + 4,47e^{-2t} \cos(t - 153,4^\circ)]u(t)$$

Ou, de outra forma:

$$a \sin(x) + b \cos(x) = \sqrt{a^2 + b^2} \cdot \sin(x + \varphi)$$

onde:

$$\varphi = \begin{cases} \arcsin\left(\frac{b}{\sqrt{a^2+b^2}}\right) & \text{se } a \geq 0, \\ \pi - \arcsin\left(\frac{b}{\sqrt{a^2+b^2}}\right) & \text{se } a < 0. \end{cases}$$

ou:

$$\varphi = \arctan\left(\frac{b}{a}\right) + \begin{cases} 0 & \text{se } a \geq 0, \\ \pi & \text{se } a < 0. \end{cases}$$

C Relações de Euler

Relações de Euler e funções exponenciais:

$$\cos(x) = \operatorname{Re}\{e^{ix}\} = \frac{e^{ix} + e^{-ix}}{2}$$

$$\sin(x) = \operatorname{Im}\{e^{ix}\} = \frac{e^{ix} - e^{-ix}}{2i}$$

ou

$$\begin{aligned} e^{ix} &= \cos(x) + i \sin(x) \\ e^{-ix} &= \cos(-x) + i \sin(-x) = \cos(x) - i \sin(x) \end{aligned}$$

D Filtro Passa Baixa Digital

Um filtro PB de 1a-ordem no formato digital é dado por:

$$y[k] = \alpha x[k] + (1 - \alpha) y[k - 1] \quad (34)$$

onde: $y[k]$ =saída atual do filtro; $y[k - 1]$ =amostra atrasada da saída do filtro (de um período de amostragem), $x[k]$ =sinal de entrada (sem atraso); α =fator de amortecimento ($0 \leq \alpha \leq 1$) e onde α é calculado como:

$$\alpha = \frac{T_s}{RC + T_s}$$

onde: T_s =valor do período de amostragem adotado e RC =constante de tempo do filtro (a mesma que seria usada num filtro PB analógico formado por um circuito TC). Este tipo de filtro é dito também de média móvel de ponderação exponencial.

Este filtro (eq. 34) no formato de um algoritmo para MATLAB (**lowpass.m**) fica:

```
1 % Filtro passa-baixa de 1a-ordem
2 % Média móvel de ponderação exponencial (EWMA)
3 %
4 % function y=lowpass(x,Ts,RC)
5 %
6 % Parâmetros de entrada:
7 %   RC=1/(2*pi*fc)=constante de tempo do filtro
```

```

8 % Ts=período de amostragem adotado (em s)
9 % onde:
10 % fc=freq. de corte do filtro (em Hz)
11 % Internamente será calculado 'alpha':
12 % alpha = Ts/(RC+Ts) = parâmetro do filtro
13 % É importante que Ts<= RC/5, senão este filtro apresenta
14 % um comportamento muito diferente do esperado.
15 function y=lowpass(x,Ts,RC)
16     alpha=Ts/(RC+Ts)
17     fprintf('RC/Ts=%7.4f (esperado >= 5)\n',RC/Ts);
18     if (Ts>(RC/5))
19         fprintf('Warning: the filter may behave quite differently from the original
20             continuous-time filter\n');
21     end
22     y(1)=x(1);
23     amostras=length(x);
24     for i=2:amostras
25         % y(i)= alpha*x(i) + (1-alpha)*y(i-1); % eq. (1)
26         y(i)= y(i-1) + alpha*(x(i) - y(i-1)); % eq. (2)
27     end
28 % return y

```

lowpass.m

A equação (34) pode ser re-escrita no formato:

$$y[k] = y[k-1] + \alpha \cdot (x[k] - y[k-1]) \quad (35)$$

Realizando um teste: suponha que o sinal a ser filtrado seja dado por: $y(t) = 2 \sin(2\pi 1) + 1/4 \sin(2\pi 50)$ - conforme mostra a figura 20(a), ou seja, o sinal principal oscila a 1 Hz enquanto sobreposto a este sinal há um ruído de 25% de amplitude e frequência de 50 Hz. Se for aplicado um FPB com $f_c = 5$ [Hz], no formato digital trabalhando com período de amostragem de $T_s = 1$ [ms] ($f_s = 1$ KHz), obteremos algo como mostrado na figura 20(b). Aplicando esta informação sobre a rotina de teste mostrada abaixo (sinal.m), obtêm-se o resultado mostrado na figura 20(b).

```

1 % sinal.m
2 % montando sinal x(:,1) no tempo para teste do filtro PB
3 % entradas:
4 % Ts= período de amostragem
5 % f = frequência base da senoide
6 clear x
7 i=0; % contador do numero da amostra
8 f=1;
9 T=1/f;
10 for k=0:Ts:(1.5*T) % gera 2,5 períodos
11     i=i+1;
12     x(i,1)=k; % variável tempo
13     x(i,2)=2*sin(2*pi*1*k)+0.5*sin(2*pi*50*k); % sinal base + "ruído"
14     x(i,3)=2*sin(2*pi*1*k); % sinal base
15 end
16 figure; plot(x(:,1),x(:,2),'b-', x(:,1),x(:,3),'m-')

```

sinal.m

Comandos usados no MATLAB:

```

1 >> Ts=1e-3;
2 >> sinal
3 >> RC=1/(2*pi*5)
4 RC =
5     0.0318
6 >> y=lowpass(x(:,2),Ts,RC);
7 alpha =
8     0.0305
9 RC/Ts=31.8310
10 >> figure; plot(x(:,1),x(:,2),'m:', x(:,1),x(:,3),'c-', x(:,1),y,'b-')
11 >> legend('Sinal c/ruído','Sinal s/ruído','Sinal filtrado')

```

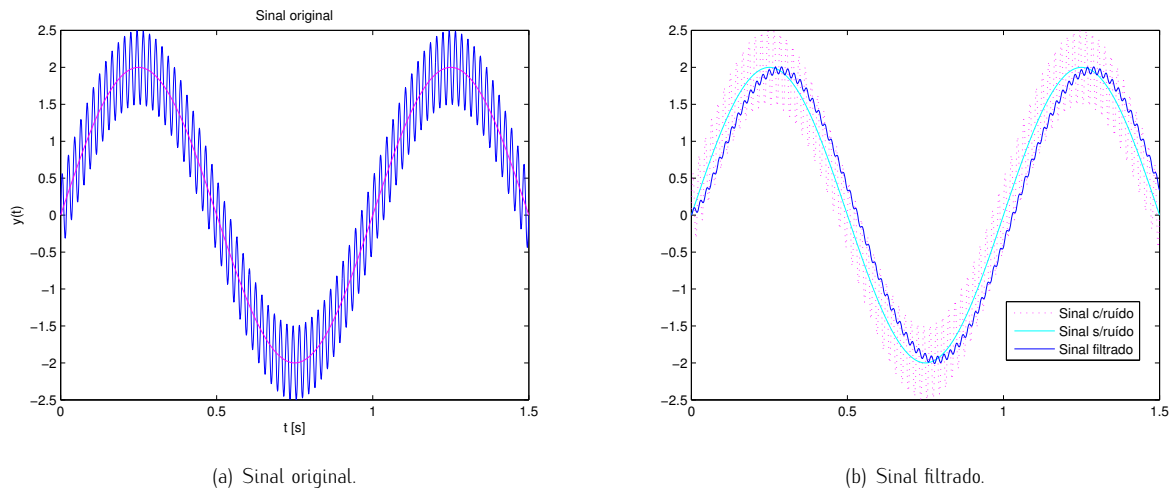


Figura 20: Teste do filtro digital FPB.

Note pela figura 20(b) que como a frequência do ruído está uma década acima da frequência de corte do filtro, sua amplitude decaiu de 20 dB ou seja de 1/10.



Material criando usando \LaTeX

Referências:

- Introdução ao \LaTeX : <http://en.wikibooks.org/wiki/LaTeX/Introduction>
- Tutorial básico sobre \LaTeX : <http://en.wikipedia.org/wiki/LaTeX>.
- Outro tutorial sobre \LaTeX : <http://www.andy-roberts.net/misc/latex/index.html>.
- Tutorial não tão curto sobre \LaTeX : <http://mirror.softwarelivre.ufsc.br/pub/ctan/info/lshort/english/lshort.pdf> – PDF de 157 páginas.
- Material avançado: <http://nitens.org/taraborelli/tools>